

# Filtro pasa-banda a microondas en banda Ku

Grado en Ingeniería de Tecnologías y Servicios de Telecomunicación

## Alumno:

Azzalin Simone

## Supervisión:

Ignacio Gil Galí

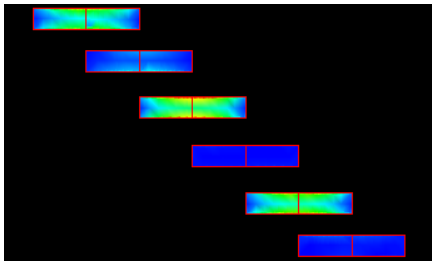
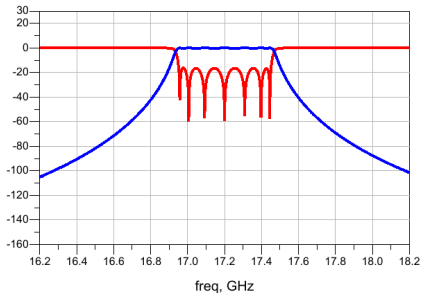
Germán Cobo Rodríguez



- 1 Introducción
- 2 Estado del arte
- 3 Filtros pasivos y respuestas en frecuencia
- 4 Líneas de transmisión
- 5 Implementación en líneas de transmisión *stripline* y *microstrip*
- 6 Conclusiones

# Introducción

Se propone el diseño de un filtro pasa-banda centrado a 17,2 GHz (banda Ku), con ancho de banda mínimo de 200 MHz, máximo de 500 MHz y atenuación de banda de rechazo a  $-70$  dB, en tecnología *stripline* y *microstrip* con aproximación de Butterworth y Chebyshev.



## Objetivos:

- Estudiar los diseños de filtros a microondas según el estado del arte actual en la industria.
- Poner en práctica parte de los conceptos estudiados a lo largo del Grado de Ingeniería.
- Entender y aprender a usar un CAD de desarrollo de microondas como Keysight ADS.
- Obtener un diseño que cumpla lo más posible las especificaciones establecidas.
- Conocer *a priori* los problemas que pueden surgir en el diseño de un circuito a microondas.
- Desarrollar un diseño lo más posible realista utilizando sustratos comerciales.

## Aplicaciones:

- Comunicaciones satelitares en banda Ku.
- SAR *radar signal processing*.
- GBSAR *radar signal processing*.

# Diagrama de Gantt



| Concepto/Material                            | Precio        |
|--|---------------|
| Licencia ADS (estudiante)                    | 2500 €        |
| Ordenador portátil                           | 650 €         |
| Distribución GNU/Linux<br>Debian 10          | 0 €           |
| Distribución L <sup>A</sup> T <sub>E</sub> X | 0 €           |
| <i>Software</i> GNU Octave                   | 0 €           |
| Horas de ingeniería (112)                    | 1456 €        |
| <b>Total</b>                                 | <b>4606 €</b> |



**Reflectionless:** estructuras simétricas encapsuladas (MMIC)

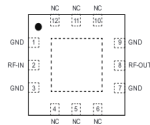
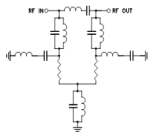


Figura 3: Minicircuits XBF-282, filtro *reflectionless*, esquema interno y *pinout*.

**PCB Transmission lines:**  
*Microstrip* y *stripline*

Microstrip



Stripline



Figura 4: Líneas de transmisión planares *microstrip* y *stripline*

## Materiales y sustratos:

| Material/Ref. Comercial <sup>®</sup> | Frecuencia | $\epsilon_r$ | $\tan(\delta)$ |
|--------------------------------------|------------|--------------|----------------|
| Alumina                              | 10 GHz     | 9.5 - 10     | 0.0003         |
| Cuarzo fundido                       | 10 GHz     | 3.78         | 0.0001         |
| Parafina                             | 10 GHz     | 2.24         | 0.0002         |
| Polyethylene                         | 10 GHz     | 2.25         | 0.0004         |
| PTFE (teflón)                        | 10 GHz     | 2            | 0.0002         |
| Arlon DiClad <sup>®</sup> 880        | 10 GHz     | 2.2          | 0.0009         |
| R04003 <sup>TM</sup>                 | 10 GHz     | 3.55         | 0.0027         |

## Tipos de respuestas en frecuencia:

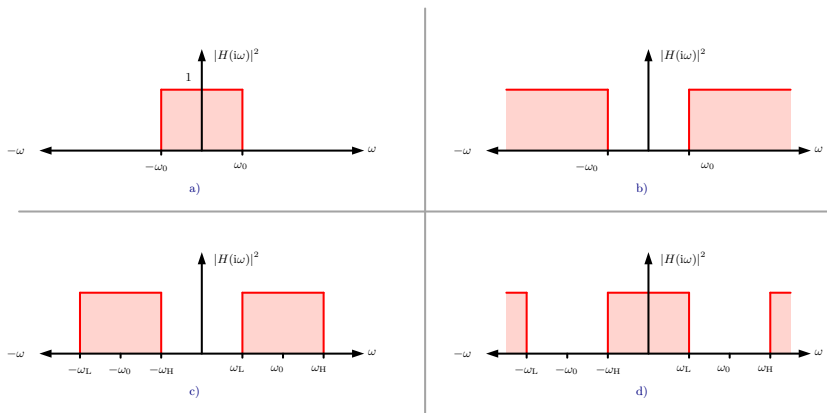


Figura 5: Respuestas ideales: a) Pasa bajo. b) Pasa alto. c) Pasa banda. d) Elimina banda.

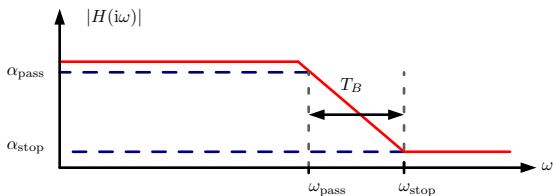


Figura 6: Respuesta con banda de transición

$\omega_{\text{pass}}$ : banda de paso (rad/s o Hz).

$\omega_{\text{stop}}$ : banda de rechazo (rad/s o Hz).

$\alpha_{\text{pass}}$ : atenuación (máxima) en la banda de paso (dB).

$\alpha_{\text{stop}}$ : atenuación (mínima) en la banda de rechazo (dB).

Función de transferencia:

$$\begin{aligned} |H(i\omega)|^2 &= \frac{1}{1 + B_n(\omega)} = \frac{1}{1 + (\omega/\omega_0)^{2n}} \\ |H(i\omega_0)|^2 &= 0,5 = 10 \log_{10} (|H(i\omega_0)|^2) = -3 \text{ dB} = \quad \forall n \end{aligned} \quad (1)$$

Orden del filtro:

$$n = \left\lceil \frac{\log \left( (10^{\alpha_{\text{stop}}/10} - 1) / (10^{\alpha_{\text{pass}}/10} - 1) \right)}{2 \log (\omega_{\text{stop}}/\omega_{\text{pass}})} \right\rceil \quad (2)$$

Polos:

$$\begin{aligned} p_k &= \sigma_k + i\omega_k \\ &= -\sin \left( \frac{(2k-1)\pi}{2n} \right) + i \cos \left( \frac{(2k-1)\pi}{2n} \right) \quad k \in \{1, 2, \dots, n\} \end{aligned} \quad (3)$$

Función de transferencia:

$$|H(i\omega)|^2 = \frac{1}{1 + \varepsilon^2 C_n^2(\omega)} \quad (4)$$

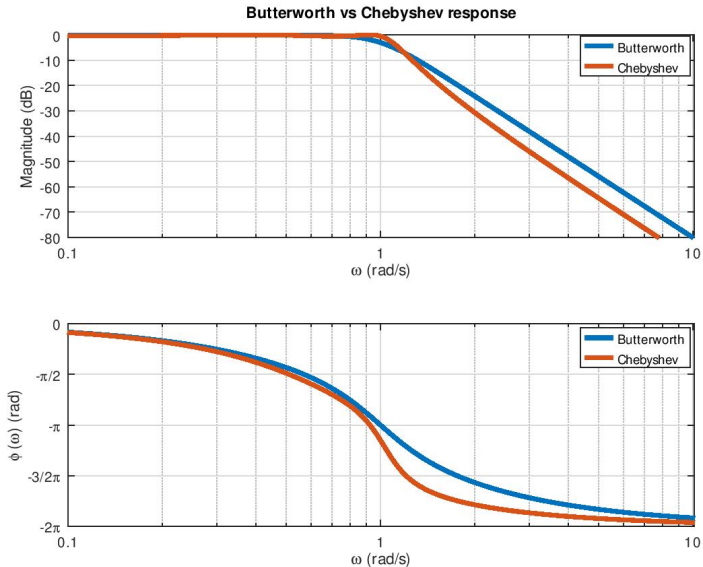
Orden del filtro:

$$n = \left\lceil \frac{\cosh^{-1} \left( \sqrt{(10^{\alpha_{\text{stop}}/10} - 1)/(10^{\alpha_{\text{pass}}/10} - 1)} \right)}{\cosh^{-1}(\omega_{\text{stop}}/\omega_{\text{pass}})} \right\rceil \quad (5)$$

Polos:

$$\begin{aligned} p_k &= \sigma_k + i\omega_k \\ &= i \cos \left( \frac{\pi(2k+1)}{2n} + i \left( \frac{\sinh^{-1}(1/\varepsilon)}{n} \right) \right) \quad k \in \{0, 1, \dots, 2n-1\} \end{aligned} \quad (6)$$

# Butterworth vs Chebyshev



## Transformación pasa-bajo a pasa-banda

Para el diseño del circuito pasa-banda, se aplica la transformación de frecuencia:

$$H_{bp}(\omega) = H_{lp} \left( \frac{1}{\Delta} \left( \frac{\omega^2 - \omega_H \omega_L}{\omega} \right) \right) \quad (7)$$

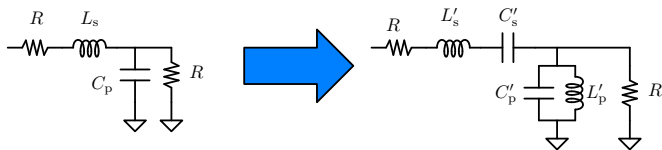


Figura 7: Transformación circuital pasa-bajo a pasa-banda

$$\begin{aligned} \Delta &= \frac{\omega_H - \omega_L}{\omega_0} \\ L'_s &= \frac{L_s R}{\Delta \omega_0} & C'_s &= \frac{\Delta}{R L_s \omega_0} \\ L'_p &= \frac{\Delta R}{\omega_0 C_p} & C'_p &= \frac{C_p}{R \Delta \omega_0} \end{aligned} \quad (8)$$

$$g_0 = g_{n+1} = R_1 = R_2 = 1$$

$$g_k = \frac{2 \sin((2k-1)\pi)}{2n} \quad k = \{1, 2, \dots, n\} \quad (9)$$

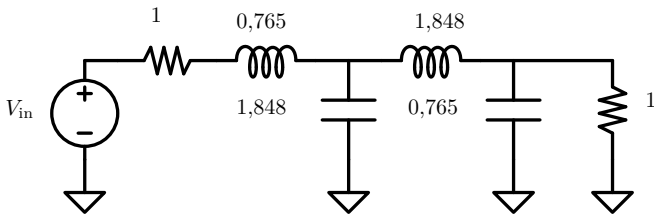


Figura 8: Filtro pasa-bajo de Butterworth del cuarto orden, normalizado.

$$\begin{aligned}
 \beta &= \ln \left( \coth \left( \frac{\alpha_{\text{pass}}}{40 \log_{10}(e)} \right) \right) \\
 \eta &= \sinh \left( \frac{\beta}{2n} \right) \\
 b_k &= \eta^2 + \sin^2 \left( \frac{k\pi}{n} \right) \quad k = \{1, 2, \dots, n\} \\
 a_k &= \frac{\sin((2k-1)\pi)}{2n} \quad k = \{1, 2, \dots, n\} \\
 g_0 &= R_1 = 1 \\
 g_1 &= \frac{2a_1}{\eta} \\
 g_k &= \frac{4(a_k a_{k-1})}{b_{k-1} g_{k-1}} \quad k = \{2, 3, \dots, n\} \\
 g_{n+1} &= R_2 = \begin{cases} 1 & n \text{ impar} \\ \coth^2(\beta/4) & n \text{ par} \end{cases}
 \end{aligned} \tag{10}$$

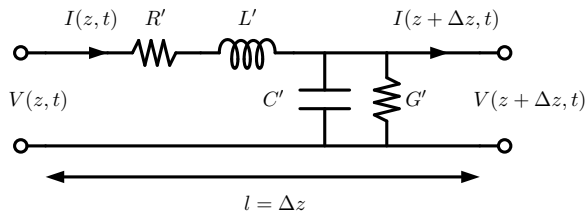


Figura 9: Modelo eléctrico de una línea de transmisión.

$$\begin{aligned}
 V(z) &= V^+ e^{-i\gamma z} + V^- e^{i\gamma z} \\
 I(z) &= I^+ e^{-i\gamma z} + I^- e^{i\gamma z} \\
 &= \frac{1}{Z_0} (V^+ e^{-i\gamma z} - V^- e^{i\gamma z})
 \end{aligned}
 \tag{11}$$

$V^+$  es la onda de tensión incidente,  $V^-$  la onda de tensión reflejada,  $Z_0$  es la impedancia característica.

## Coefficiente de reflexión y máxima transferencia de potencia

El coeficiente de reflexión es la proporción entre la onda reflejada y la onda incidente:

$$\Gamma(z) = \frac{V^-(z)}{V^+(z)} = \frac{V^- e^{i\beta z}}{V^+ e^{-i\beta z}} = \frac{V^-}{V^+} e^{i2\beta z} \quad (12)$$

Idealmente, en un circuito se quiere conseguir que  $\Gamma(z) = 0$  a la frecuencia de interés, ya que de otra forma se sufriría un degrado indeseado (es decir, reflexiones) de la señal.

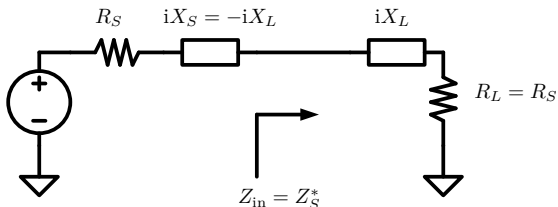


Figura 10: Condición de máxima transferencia de potencia.

## Adaptación de impedancias

Adaptando las impedancias se consigue máxima transferencia de potencia desde la fuente hacia la carga y coeficiente de reflexión nulo. En un filtro eléctrico la adaptación en la banda de paso es intrínseca al diseño.

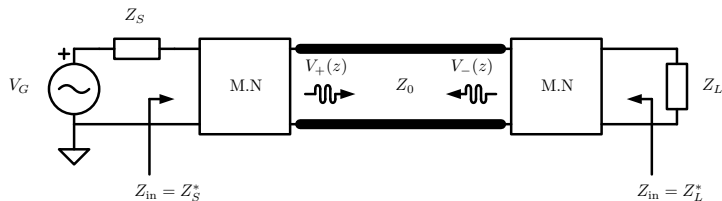


Figura 11: Esquema genérico de adaptación de impedancias con líneas de transmisión.

## *Stripline*

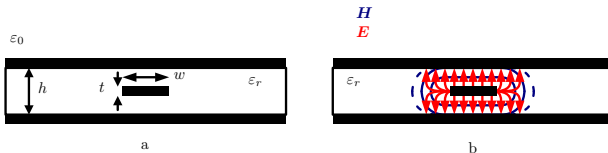


Figura 12: Línea *stripline*. (a) Estructura. (b) Campo electromagnético.

## *Microstrip*

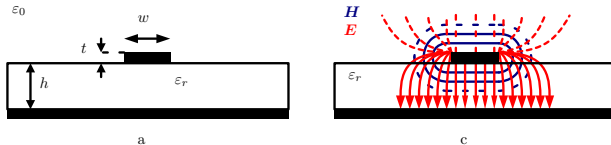


Figura 13: Línea *microstrip*. (a) Estructura. (b) Campo electromagnético.

- **Frecuencia central:**  $f_0 = 17,2$  GHz, o  $\omega_0 = 10,807$  rad/s
- **Banda de paso mín:**  $f_{\text{passL}} = 17,1$  GHz,  $f_{\text{passH}} = 17,3$  GHz, 200 MHz.
- **Banda de paso máx:**  $f_{\text{passL}} = 16,95$  GHz,  $f_{\text{passH}} = 17,45$  GHz, 500 MHz.
- **Banda de rechazo:**  $f_{\text{stopL}} = 16,2$  GHz,  $f_{\text{stopH}} = 18,2$  GHz.
- **Atenuación en la banda de paso:**  $\alpha_{\text{pass}} \approx 0,1$  dB.
- **Atenuación en la banda de rechazo:**  $\alpha_{\text{stop}} \approx 70$  dB.
- **Impedancia característica de referencia:**  $Z_0 = 50 \Omega$ .

$$\begin{aligned} b_{\text{pass}} &= f_{\text{passH}} - f_{\text{passL}} = 17,45 \text{ GHz} - 16,95 \text{ GHz} \\ b_{\text{stop}} &= f_{\text{stopH}} - f_{\text{stopL}} = 18,2 \text{ GHz} - 16,2 \text{ GHz} \end{aligned} \tag{13}$$

## Estructura en líneas acopladas paralelas

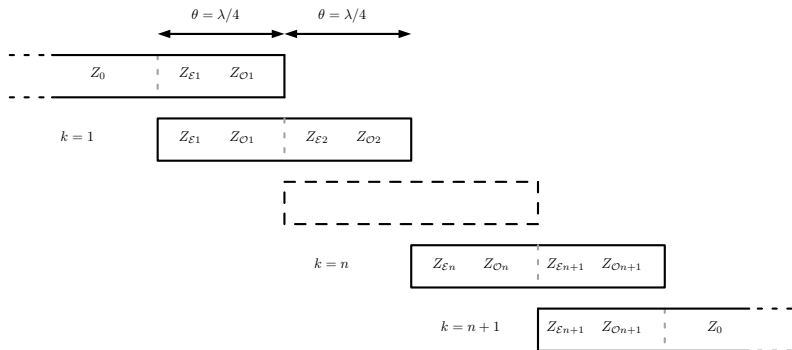


Figura 14: Estructura *parallel coupled*.

Una vez obtenidos los coeficientes del filtro, el algoritmo de diseño se puede resumir con las siguientes ecuaciones, donde  $Z_{\mathcal{E}k}$  y  $Z_{\mathcal{O}k}$  son respectivamente las impedancias de modo par y modo impar:

$$\begin{aligned} J_1 &= \frac{1}{Z_0} \sqrt{\frac{\pi \Delta}{2g_1}} \\ J_k &= \frac{1}{Z_0} \left( \frac{\pi \Delta}{2\sqrt{g_k g_{k-1}}} \right) \quad k = 2, 3, \dots, n \\ J_{n+1} &= \frac{1}{Z_0} \left( \sqrt{\frac{\pi \Delta}{2g_n g_{n+1}}} \right) \\ Z_{\mathcal{E}k} &= Z_0(1 + J_k Z_0(1 + J_k Z_0)) \\ Z_{\mathcal{O}k} &= Z_0(1 - J_k Z_0(1 + J_k Z_0)) \end{aligned} \tag{14}$$

Calculo de dimensiones de los resonadores con ADS LineCalc:

The screenshot shows the ADS LineCalc software interface with the following settings and results:

**Component:** Type: SCLIN, ID: SCLIN: SCLIN\_DEFAULT

**Substrate Parameters:** ID: SSUB\_DEFAULT

|                 |          |     |
|-----------------|----------|-----|
| Er              | 2.200    | N/A |
| Mur             | 1.000    | N/A |
| B               | 1.524    | mm  |
| T               | 35.000   | um  |
| Cond            | 5.8e7    | N/A |
| TanD            | 9.000e-4 | N/A |
| DielectricModel | 1 non    | N/A |

**Physical Parameters:**

|   |          |    |
|---|----------|----|
| W | 0.930836 | mm |
| S | 0.013782 | mm |
| L | 2.938320 | mm |

**Electrical Parameters:**

|       |           |     |
|-------|-----------|-----|
| ZE    | 72.960    | Ohm |
| ZO    | 27.040    | Ohm |
| Z0    | 44.416646 | Ohm |
| C_DB  | -6.759962 | N/A |
| E_Eff | 90.000    | deg |

**Calculated Results:**

```

AE_DB = 0.011
AO_DB = 0.019
SkinDepth = 5.040e-4
    
```

The schematic diagram shows a resonator structure with dimensions W1, W2, W3, W4, S, and L. The structure consists of a central horizontal line of width W and length L, with four vertical lines of widths W1, W2, W3, and W4 extending from it. The spacing between the vertical lines is S.

Values are consistent

Figura 15: ADS LineCalc.

# Diseño #1 - *stripline* DiClad<sup>®</sup> 880 - Butterworth

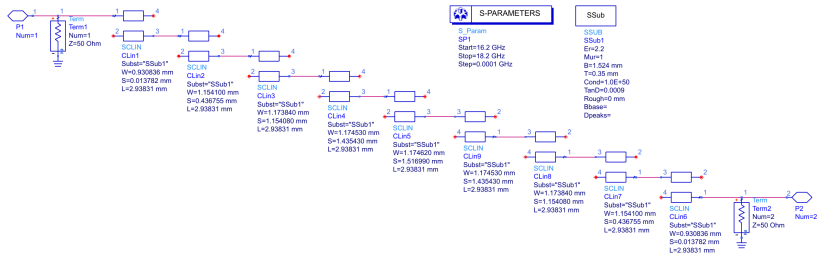


Figura 16: Esquema de filtro *stripline* según aproximación de Butterworth.

- Número de resonadores

$$n_B = \left\lceil \frac{\log \left( \frac{(10^{\alpha_{stop}/10} - 1)}{(10^{\alpha_{pass}/10} - 1)} \right)}{2 \log (b_{stop}/b_{pass})} \right\rceil = 8 \quad (15)$$

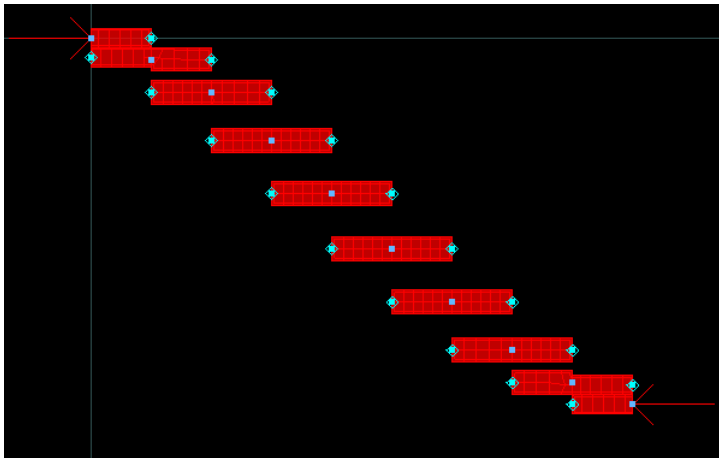


Figura 17: Layout final del filtro en líneas acopladas

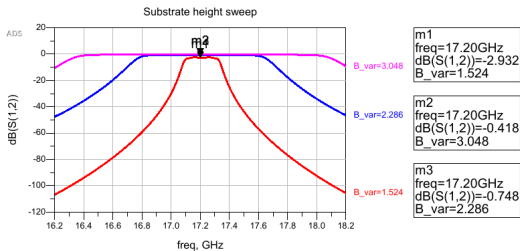


Figura 18: Simulación de la variación de altura del sustrato.



Figura 19: Sustrato de 2 mm de altura.

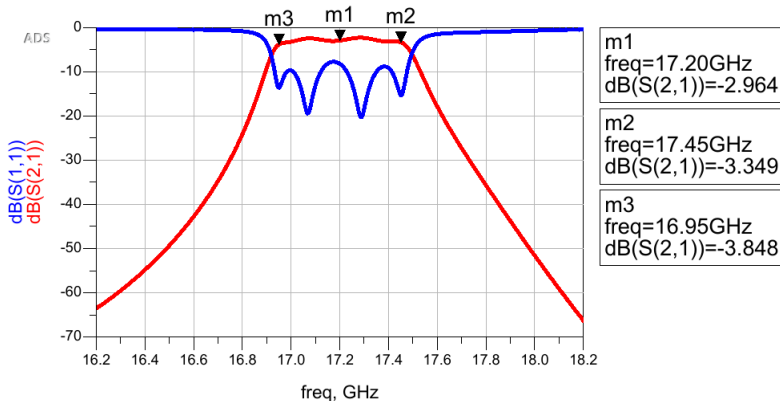


Figura 20: Diseño #1 - Resultado de simulación con sustrato de 2 mm de altura.

# Diseño #3 - *stripline* DiClad<sup>®</sup> 880 - Chebyshev

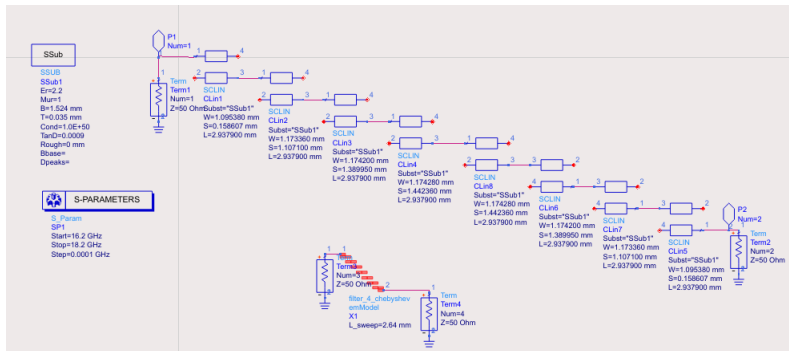


Figura 21: Filtro el líneas acopladas - Chebyshev

- Número de resonadores

$$n_C = \left\lceil \frac{\cosh^{-1} \left( \sqrt{(10^{\alpha_{\text{stop}}/10} - 1)/(10^{\alpha_{\text{pass}}/10} - 1)} \right)}{\cosh^{-1}(b_{\text{stop}}/b_{\text{pass}})} \right\rceil = 7 \quad (16)$$

# Sustrato y simulación

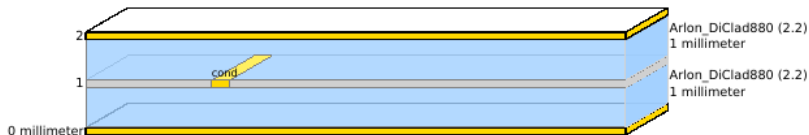


Figura 22: Sustrato  $h = 2$  mm

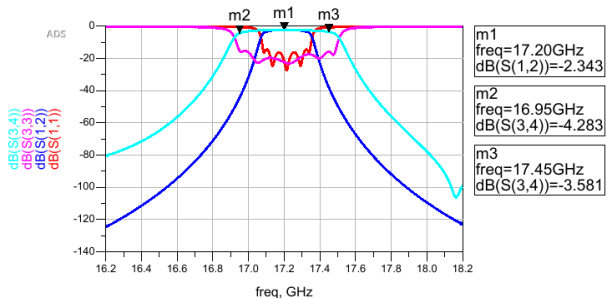


Figura 23: Diseño #3 - Simulación de la implementación con aproximación de Chebyshev.

# Diseño #4 - *microstrip* DiClad<sup>®</sup> 880 - Chebyshev

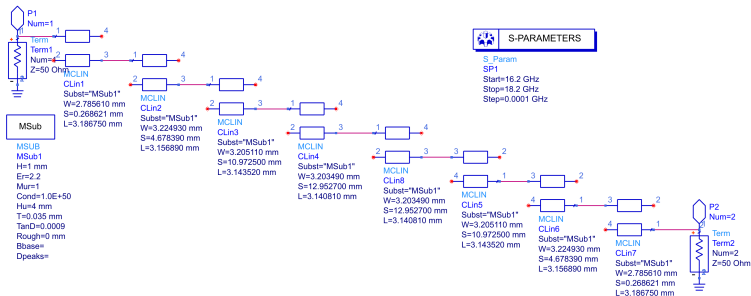


Figura 24: Esquema de filtro *stripline* según aproximación de Chebyshev.

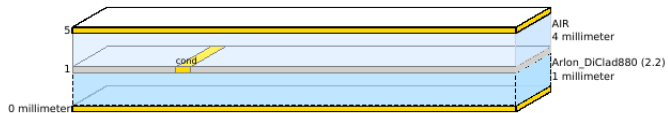


Figura 25: Sustrato de *layout* del filtro *microstrip* con aproximación de Chebyshev.

- Igual que el sustrato *stripline*, se incluye capa de cubierta para el apantallamiento (necesario a la frecuencia de trabajo en cuestión).

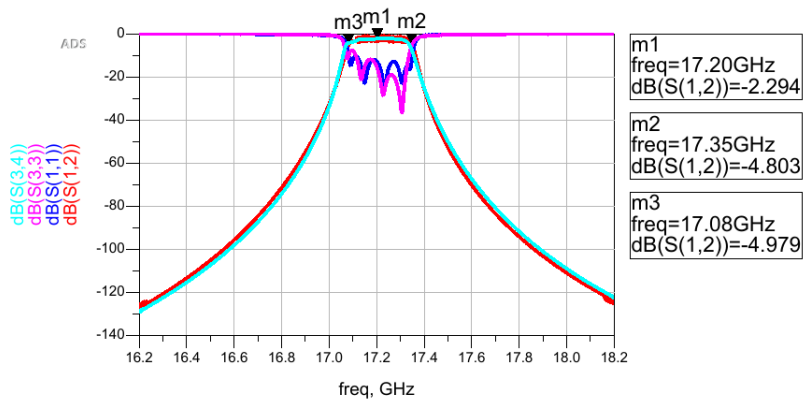


Figura 26: Diseño #4 - Simulación del filtro *microstrip* con aproximación de Chebyshev.

- Los diseños que cumplen estrictamente todas las especificaciones son el #3 y #4 ya que la atenuación en la banda de rechazo del diseño #1 no cumple exactamente los requisitos por  $\approx 6$  dB de diferencia.
- El diseño se hace más complicado cuanto más sea alta la frecuencia de trabajo.
- Es aconsejable elegir materiales con bajas pérdidas de dieléctrico ( $\tan(\delta) \leq 0,001$ ).
- Ajustes necesarios de *layout*: longitud y altura sustrato.
- También para los diseños en líneas *microstrip* hay que tener en cuenta el apantallamiento.

**Muchas gracias por su atención !**